

СТРУКТУРНЫЕ РАЗНОВИДНОСТИ ГРАФИНОВЫХ СЛОЕВ, СОСТОЯЩИХ ИЗ УГЛЕРОДНЫХ АТОМОВ В СОСТОЯНИЯХ ГИБРИДИЗАЦИИ sp И sp^2

E. A. Беленков^{a*}, B. B. Мавринский^b, T. E. Беленкова^a, B. M. Чернов^a

^a Челябинский государственный университет
454001, Челябинск, Россия

^b Магнитогорский государственный технический университет им. Г. И. Носова
455000, Магнитогорск, Россия

Поступила в редакцию 22 сентября 2014 г.

На основе описанной в статье модельной схемы получения слоевых соединений, состоящих из углеродных атомов в состояниях sp - и sp^2 -гибридизации, установлена возможность существования семи основных структурных разновидностей графина (graphyne): α -графина, β_1 -графина, β_2 -графина, β_3 -графина, γ_1 -графина, γ_2 -графина и γ_3 -графина. Описаны полиморфные разновидности — β_3 -графин и γ_3 -графин. Основные структурные разновидности графина содержат в своей структуре двухатомные полиновые цепочки и состоят только из углеродных атомов в двух различных кристаллографически эквивалентных состояниях. Другие неосновные структурные разновидности графина могут быть получены за счет удлинения карбиновых цепочек, соединяющих трехкоординированные углеродные атомы, а также за счет формирования графиновых слоев со смешанной структурой, состоящих из фрагментов основных слоев: α – β -графина, α – γ -графина, β – γ -графина и тому подобных. Также в работе полуэмпирическими квантово-механическими методами MNDO, AM1, PM3 и расчетами *ab initio* в базисе STO6-31G были получены геометрически оптимизированные структуры основных графиновых слоев, найдены значения их структурных параметров и энергии сублимации. Установлено, что максимальная энергия сублимаций характерна для γ_2 -графина, который должен быть наиболее устойчивой структурной разновидностью графина.

DOI: 10.7868/S0044451015050092

1. ВВЕДЕНИЕ

Соединения, состоящие только из углеродных атомов, демонстрируют большое разнообразие структурных разновидностей. Это обусловлено тем, что углеродные атомы в соединениях могут находиться в состояниях с различной координацией и в результате их электронные орбитали гибридизируются. Состояния гибридизации электронных орбиталей углеродных атомов могут быть как основными, sp , sp^2 , sp^3 , так и промежуточными, sp^m , sp^n ($1 < n < 2$, $2 < m < 3$) [1–4]. Различия структуры углеродных материалов и, как

следствие, электронных конфигураций составляющих их атомов обусловливают то, что свойства материалов изменяются в широких диапазонах. Получение углеродных материалов с требуемыми свойствами возможно в результате синтеза гибридных соединений, состоящих из атомов углерода в различных гибридизированных состояниях, за счет варьирования соотношения атомов в разных состояниях. Гибридные углеродные материалы могут быть четырех основных классов: $sp + sp^2$, $sp + sp^3$, $sp^2 + sp^3$ и $sp + sp^2 + sp^3$ [3, 4]. Особый интерес представляют углеродные материалы $sp + sp^2$, состоящие из атомов углерода в двух- и трехкоординированных состояниях. Такие соединения имеют слоевую структуру подобную слоевой структуре графена [5, 6] и графановых слоев [7, 8]. В структуре материалов $sp + sp^2$ имеются фрагменты карбиновых цепочек с полиновой (polyyne)

*E-mail: belenkov@csu.ru

структурой, поэтому соединения $sp + sp^2$ были названы графинами (graphyne) [9].

Первая теоретическая работа, в которой была описана структура нескольких разновидностей графина, была опубликована в 1987 г. [9]. Теоретические расчеты по исследованию структуры фрагментов графиновых слоев и отдельных слоев графина, а также их свойств были продолжены в работах [10–38]. Ряд теоретических работ был посвящен исследованиям структуры графиновых кристаллов, состоящих из слоев графина упакованных в стопки [39, 40], кристаллов графина, имеющих трехмерную жесткосвязанную структуру [36, 41], а также структуры и свойств интеркалированного и допированного графина [42–53]. Графиновыеnanoструктуры, подобные фуллеренам, были впервые теоретически изучены в работе [54], а графиновые нанотрубки впервые описаны в работе [55]. Теоретические исследования каркасных графиновых nanoструктур и их свойств были продолжены в работах [56–64].

Поиски путей экспериментального синтеза графиновых слоев, кристаллов и nanoструктур начались с теоретических работ Дидриха и Рубина [65, 66], в которых было предложено синтезировать графиновые соединения в результате полимеризации молекул, имеющих фрагменты углеродного каркаса подобные соответствующей структурной разновидности графина. В ряде экспериментальных работ, выполненных с середины 90-х гг. по настоящее время, были получены молекулярные фрагменты графиновых слоев фуллереноподобных молекул практически всех основных структурных типов [67–89]. Однако синтезировать графиновые слои, пока что только графдиновой (graphdiyne) разновидности, удалось только в 2010 г. [90, 91]. Годом позднее были синтезированы графдиновые нанотрубки [92]. После этого количество работ по графину стало быстро увеличиваться. Интерес к изучению графина также подстегнули недавние работы, в которых было теоретически предсказано, что в электронной структуре графиновых слоев должны быть конусы Дирака [22–24, 30, 31, 35].

Несмотря на достигнутые успехи в изучении графина, до сих пор остается неясным, какова возможная структура полиморфных разновидностей графина. В данной работе выполнен теоретический анализ возможной структуры графинов, предложена схема их классификации, приведены результаты квантово-механических расчетов структуры и некоторых свойств основных полиморфных модификаций графина.

2. СТРУКТУРНАЯ КЛАССИФИКАЦИЯ ГРАФИНОВЫХ СЛОЕВ

В первой теоретической работе [9], посвященной исследованию структурных разновидностей графина, для их обозначения было предложено использовать наборы из трех индексов, обозначающих число звеньев в кольцевых структурах графиновых слоев. Недостатком такой схемы обозначений является то, что возможно существование слоев с разной структурой, но в то же время обозначаемых одинаковым набором индексов. Поэтому в последующей работе [57] было предложено ввести обозначения α -, β - и γ -графин, где греческими буквами обозначались слои, характеризующиеся набором операций симметрии по степени их близости к набору операций симметрии для слоев гексагонального графена (α -графин — наиболее близкий к гексагональному графену и т. д.). Недостатком последней схемы обозначения является то, что она носит описательный характер и не позволяет предсказывать структуру новых полиморфных разновидностей графина.

Описать все возможные структурные разновидности графина и предсказать ряд новых структурных типов позволяет схема классификации, предложенная нами в работе [38]. С помощью этой схемы ранее была предсказана новая структурная разновидность графина — γ_2 -графин [38]. Анализ возможных структур графина, выполненный в данной работе при помощи этой классификационной схемы, позволил обнаружить и описать еще две структурные разновидности, неизвестные ранее.

Классификационная схема, описывающая структуру графинов, базируется на общей схеме структурной классификации углеродных фаз и nanoструктур, описанной в работах [2, 3]. Формально структура графинов может быть описана как структура плоских сеток образованных узлами имеющими две и три связи с соседними. Поэтому в основу структурной классификации необходимо положить соотношение атомов в двух- и трехкоординированных состояниях. Модельное получение графиновых слоев возможно из слоев графена, в которых все атомы находятся в трехкоординированных состояниях (рис. 1a). Для получения графина необходимо заменять углерод-углеродные связи между трехкоординированными атомами графенового слоя на фрагменты карбоновых цепочек из углеродных атомов в двухкоординированных состояниях (рис. 1б–г).

Структурно графиновые слои можно разделить на группы, различающиеся по числу атомов в различных кристаллографически неэквивалентных со-

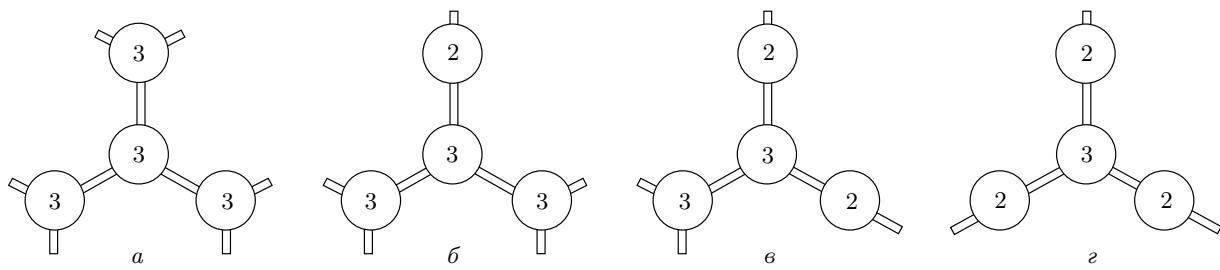


Рис. 1. Модельная схема получения графиновых слоевых соединений из слоев гексагонального графена L_6 , в результате замены части трехкоординированных атомов на двухкоординированные атомы: *а* — трехкоординированные атомы в слоях гексагонального графена L_6 ; *б-г* — у каждого трехкоординированного атома углерода один, два или три соседних атома углерода заменены на атомы в двухкоординированном состоянии

стояниях. Наибольший интерес из полиморфных разновидностей графина должны представлять такие, которые содержат минимальное число разных структурных позиций атомов. Это связано с тем, что углеродные соединения с минимальным числом структурных позиций более устойчивы. Например, наибольшую вероятность формирования из фуллеренов имеет фуллерен C_{60} , в котором все атомные позиции структурно эквивалентны [93]. Поэтому первой основной структурной группой графиновых слоев будет группа, содержащая минимальное число структурных позиций атомов. Минимальное число атомных позиций в слоях графина две. В одной из позиций находятся атомы в двухкоординированных состояниях, в другой позиции — трехкоординированные атомы. Следующая структурная группа графиновых слоев должна содержать структурные разновидности с тремя разными позициями и т. д. Число структурных разновидностей графина в основной группе должно быть конечным и все их необходимо и возможно описать.

Модельная схема теоретического построения всех возможных структурных разновидностей графина следующая. В качестве исходной структуры для получения графиновых слоев необходимо взять слой графена, в котором все sp^2 -гибридизированные углеродные атомы находятся в кристаллографически эквивалентных трехкоординированных состояниях. Графиновые слои получаются при замене связей между трехкоординированными атомами слоя на карбиноевые цепочки, так чтобы позиции sp^2 -атомов оставались эквивалентными. Для основной структурной группы графина (с минимальным числом атомных позиций) двухкоординированные атомы в карбиноевых цепочках должны находиться в эквивалентных состояниях и, кроме того, графиновая структура должна быть

слоевой. Этим требованиям удовлетворяют только карбиноевые цепочки из пары атомов. Возможны три варианта замены углерод-углеродных связей на карбиноевые цепочки в графеновом слое.

При первом варианте замены карбиновая цепочка заменяет всего лишь одну из трех связей у каждого sp^2 -гибридизированного атома исходного графенового слоя (рис. 1*б*). В результате каждый трехкоординированный атом оказывается связанным с одним двухкоординированным и двумя трехкоординированными. В результате могут быть получены три структурные разновидности такого типа (рис. 2*д, е, ж*). Эти полиморфные разновидности графина должны содержать наибольшую долю sp^2 -гибридизированных атомов — на каждый трехкоординированный атом в таких слоях будет приходиться всего один двухкоординированный. По этому признаку такие структурные разновидности наиболее близки к графену. Поскольку графит, состоящий из графеновых слоев, является наиболее устойчивой аллотропной модификацией углерода при нормальных условиях, графины с наибольшим числом sp^2 -гибридизированных атомов должны быть, по-видимому, наиболее устойчивыми. Синтез именно таких слоев наиболее вероятен, и именно их необходимо было бы назвать α -графином. Однако ранее для обозначения структуры одного из таких слоев было предложено обозначение γ -графин [57]. Подобная терминология стала широко распространенной в работах других авторов [14, 32, 38, 40, 52], поэтому, не нарушая уже сложившуюся схему обозначений, будем называть полученные структурные разновидности также γ -графиновыми, при этом однако изменив смысл обозначений — теперь γ -графины — это соединения, где каждый трехкоординированный атом углерода образует связи с одним двух- и двумя трехкоординированными атомами. В результате

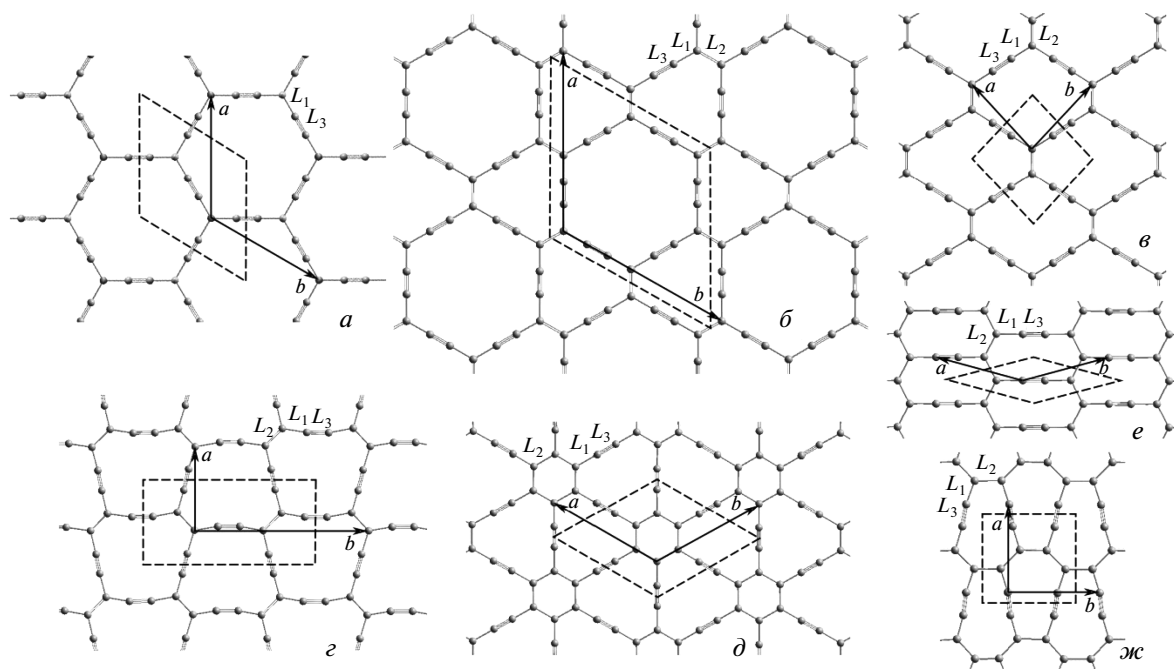


Рис. 2. Геометрически оптимизированная структура слоев из углеродных атомов в двух- и трехкоординированных состояниях основных структурных разновидностей: *a* — α -графин, *б* — β_1 -графин, *в* — β_2 -графин, *г* — β_3 -графин, *д* — γ_1 -графин, *е* — γ_2 -графин, *ж* — γ_3 -графин

вместо одной разновидности γ -графина может существовать три: 1) γ_1 -графин (рис. 2*д*), обозначенный ранее в работе [9] как 6,6,6-графин или как γ -графин в работе [57]; 2) γ_2 -графин (рис. 2*е*), описанный в работе [38]; 3) γ_3 -графин (рис. 2*ж*) — новая структурная разновидность графина, описанная в данной работе.

Второй вариант замены углерод-углеродных связей в слое графена — это замена двух связей у каждого трехкоординированного атома на карбиноевые цепочки (рис. 1*в*). При такой замене получаются еще три структурные разновидности, обозначаемые как β_1 -графин (рис. 2*б*), β_2 -графин (рис. 2*в*) и β_3 -графин (рис. 2*г*). Первая из этих полиморфных разновидностей графиновых слоев (β_1 -графин) была теоретически изучена в работе [9] и первоначально была обозначена как 12,12,12-графин, а позднее как β -графин [57]. Вторая структурная разновидность (β_2 -графин) обозначалась ранее как 14,14,14-графин [9], β_3 -графин описан и изучен в данной работе.

При третьем способе замены необходимо все связи с соседними атомами у трехкоординированного слоя в графеновом слое заменить на карбиноевые цепочки. В результате получается структура так называемого α -графина (рис. 2*а*) [57]. Как показывает

анализ, из гексагонального графенового слоя можно получить всего одну α -структурную разновидность графина основного класса.

Таким образом, теоретический анализ при помощи модельной схемы получения графиновых слоев из слоев гексагонального графена показал, что в первой основной структурной группе графинов может быть всего семь структурных слоевых разновидностей, состоящих из атомов в двух кристаллографических различных состояниях: α -, β_1 -, β_2 -, β_3 -, γ_1 -, γ_2 - и γ_3 -графин. При этом возможно, что β_3 -графин следует отнести не к первой основной группе, а ко второй группе, так как при геометрической оптимизации слоев в структуре получаются не две, а три различные атомные позиции. Однако это может быть следствием ограниченного размера слоев, использованных для расчета оптимальной структуры, и при более тщательной оптимизации позиции двухкоординированных атомов, возможно, будут эквивалентными. Из семи структурных разновидностей четыре (α , β_1 , β_2 и γ_1) исследовались ранее различными авторами работ [9–38], еще одна разновидность, γ_2 -графин, была описана недавно в работе [38], а возможность существования еще двух разновидностей — β_3 - и γ_3 -графина — установлена в данной работе.

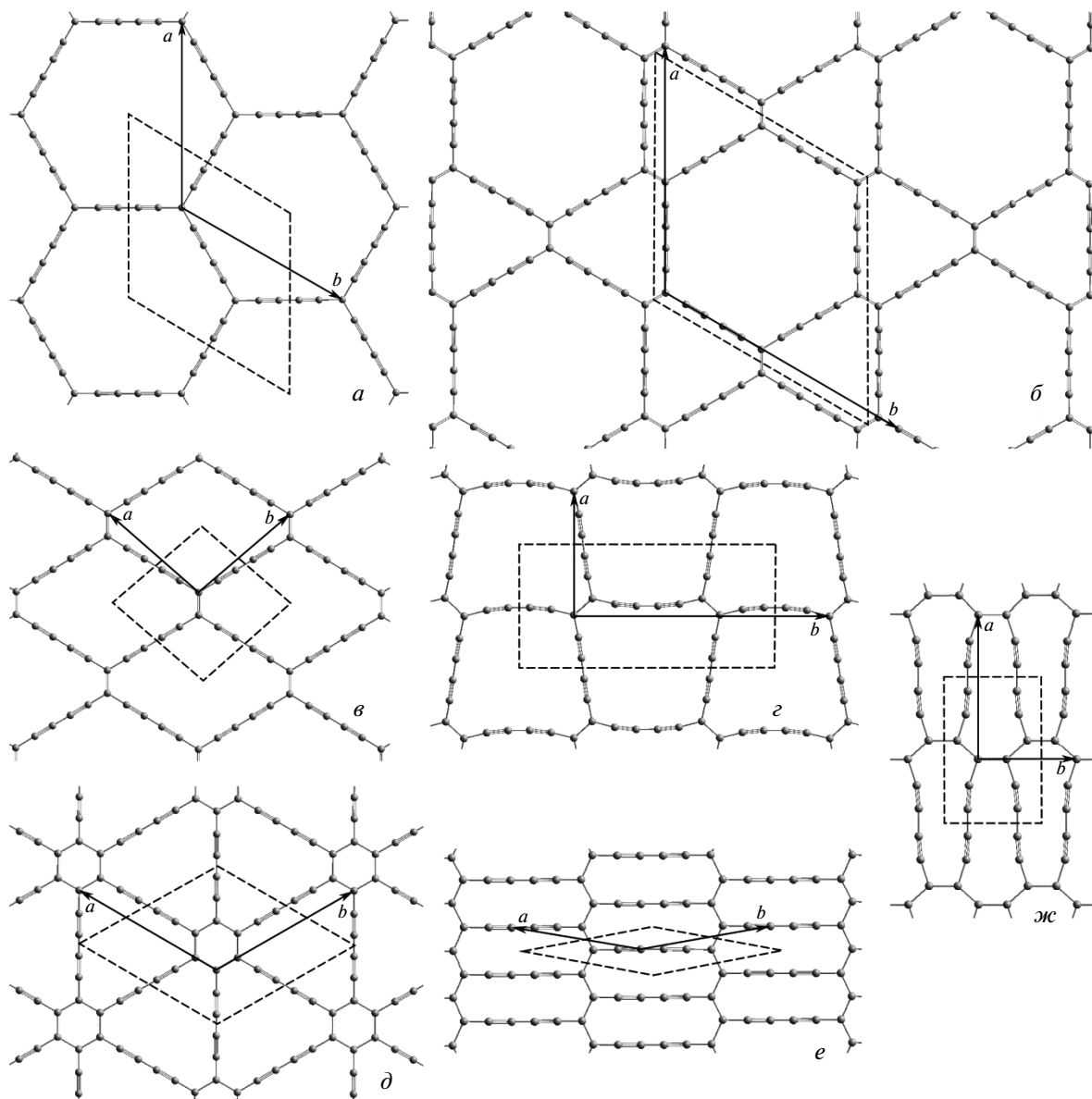


Рис. 3. Геометрически оптимизированная структура слоев из углеродных атомов в двух- и трехкоординированных состояниях основных структурных разновидностей: *a* — α -графин-2, *б* — $\beta 1$ -графин-2, *в* — $\beta 2$ -графин-2, *г* — $\beta 3$ -графин-2, *д* — $\gamma 1$ -графин-2, *е* — $\gamma 2$ -графин-2, *жс* — $\gamma 3$ -графин-2

Вторая структурная группа графинов должна состоять из атомов в трех различных кристаллографических состояниях. Модельно получить структуры таких соединений можно из структурных разновидностей первой группы при замене двухатомных полиновых цепочек на четырехатомные. Получаются структурные разновидности, обозначаемые как α -графин-2, $\beta 1$ -графин-2, $\beta 2$ -графин-2, $\beta 3$ -графин-2, $\gamma 1$ -графин-2 (называемый в ряде работ графдиином), $\gamma 2$ -графин-2 и $\gamma 3$ -графин-2 (рис. 3).

Далее возможна замена двухатомных карбионовых цепочек на карбиновые цепочки с полиновой структурой, содержащие любое четное число атомов. В результате получатся различные графиновые слои, обозначаемые как Xm -графин-*n*, где $X = \alpha, \beta, \gamma$; $m = 1, 2, 3$, если $X = \beta, \gamma$; $n = 1, 2, 3, \dots$ — число пар двухкоординированных атомов в карбиновых цепочках, при $n = 1$ индекс 1 в обозначении графинов не указывается. Для получаемых таким образом графиновых слоев число кристаллографически неэквивалентных состояний составляет $n + 1$, т. е. в каждой

карбиновой цепочке имеются n неэквивалентных состояний и еще одно уникальное состояние соответствует позициям трехкоординированных атомов.

Другая возможность получения огромного разнообразия структурных разновидностей графина, состоящих из атомов в более чем двух различных кристаллографически неэквивалентных позициях, — это получение их при комбинировании семи основных структурных разновидностей графина. Примеры геометрически оптимизированной структуры полиморфных разновидностей графина, получаемых таким способом, приведены на рис. 4. Возможность большого разнообразия смешанных структур связана с тем, что комбинировать основные структурные разновидности можно в различной пропорции.

Наибольший интерес из всего многообразия графиновых структур, описанных выше, представляют семь структур основной группы и структуры второй группы, состоящие из атомов в трех различных неэквивалентных состояниях. Это связано с высокой вероятностью экспериментального синтеза именно этих структур, тем более что γ 1-графин-2 (графдиин) уже экспериментально синтезирован [90, 91]. Поэтому для подробных расчетов следующего этапа были выбраны семь графиновых слоев основной структурной группы.

3. РАСЧЕТ СТРУКТУРЫ ОСНОВНЫХ ПОЛИМОРФНЫХ РАЗНОВИДНОСТЕЙ ГРАФИНА

Начальная конфигурация структуры графиновых слоев перед геометрической оптимизацией была задана в соответствии со схемой их модельного получения, описанной выше. Для каждой из структурных разновидностей графина сначала были построены структурные единицы, содержащие один трехкоординированный атом (sp^2) и окружающие его двухкоординированные атомы (sp). Для основных полиморфов графина такие структурные единицы содержат 4, 3 и 2 атома соответственно для α -, β - и γ -графина. Для графдииновых слоев структурные единицы содержали для α -графина-2 семь атомов, для β -графинов-2 пять атомов и три атома для γ -графинов-2. Затем из первичных структурных единиц строились плоские графиновые слои, так чтобы структурные единицы были спарены межатомными связями. В результате получались исходные графиновые слои. Затем построенные слои подвергались геометрической оптимизации, т. е. находилось такое относительное расположение атомов

в слоях, которое соответствовало минимуму полной энергии. Рассчитываемые таким образом геометрически оптимизированные структуры устойчивы, так как любые малые отклонения атомов от найденных в результате расчетов положений приводят к увеличению полной энергии.

Для расчета геометрически оптимизированной структуры графиновых слоев были использованы полуэмпирические квантово-механические методы MNDO (Modified Neglect of Diatomic Overlap) [94], AM1 (Austin Model 1) [95], PM3 (Parameter Model 3) [96, 97] и расчеты *ab initio* в базисе STO6-31G [98, 99]. Полуэмпирические методы MNDO, AM1 и PM3 используют валентное приближение, ЛКАО (линейную комбинацию атомных орбиталей), модификацию метода молекулярных орбиталей (МО). Для нахождения собственных функций (МО) и собственных значений (энергий МО) гамильтониана кластера решалось уравнение Хартри–Фока–Рутаана в приближении пренебрежения двухатомным дифференциальным перекрыванием (NDDO). Отличие использованных полуэмпирических методов друг от друга заключалось в основном в значениях некоторых из двухэлектронных, одноэлектронных интегралов и интегралов перекрытия, найденных по эмпирическим данным. Кроме того, методы AM1 и PM3 более точно учитывают дальние взаимодействия между атомами по сравнению с MNDO. В расчетах *ab initio*, выполненных в работе, использовался базис одноэлектронных волновых функций STO6-31G [98, 99]. В качестве критерия завершения геометрической оптимизации структуры при расчетах было принято значение изменения градиента энергии 0.002 ккал/($\text{\AA}\cdot\text{моль}$). Выбор методов расчетов был обусловлен тем, что в результате выполненных ранее исследований было установлено, что численные значения структурных и энергетических параметров, вычисляемые этими методами, достаточно точно соответствуют экспериментально измеренным величинам для различных углеродных материалов [100–102].

Расчеты были выполнены для фрагментов слоев γ 1-, γ 2-, γ 3-, β 1-, β 2-, β 3- и α -графина, содержащих от 96 до 328 углеродных атомов. Краевые связи у фрагментов слоев были компенсированы водородными атомами. Параметры структуры измерялись в центральной части фрагментов, где искажения от краевых эффектов были минимальными. В геометрически оптимизированных фрагментах графиновых слоев измеряли L_i — длины связей между атомами углерода, где $i = 1, 2, 3$. Расчетные значения длин межатомных связей C–C, найденных раз-

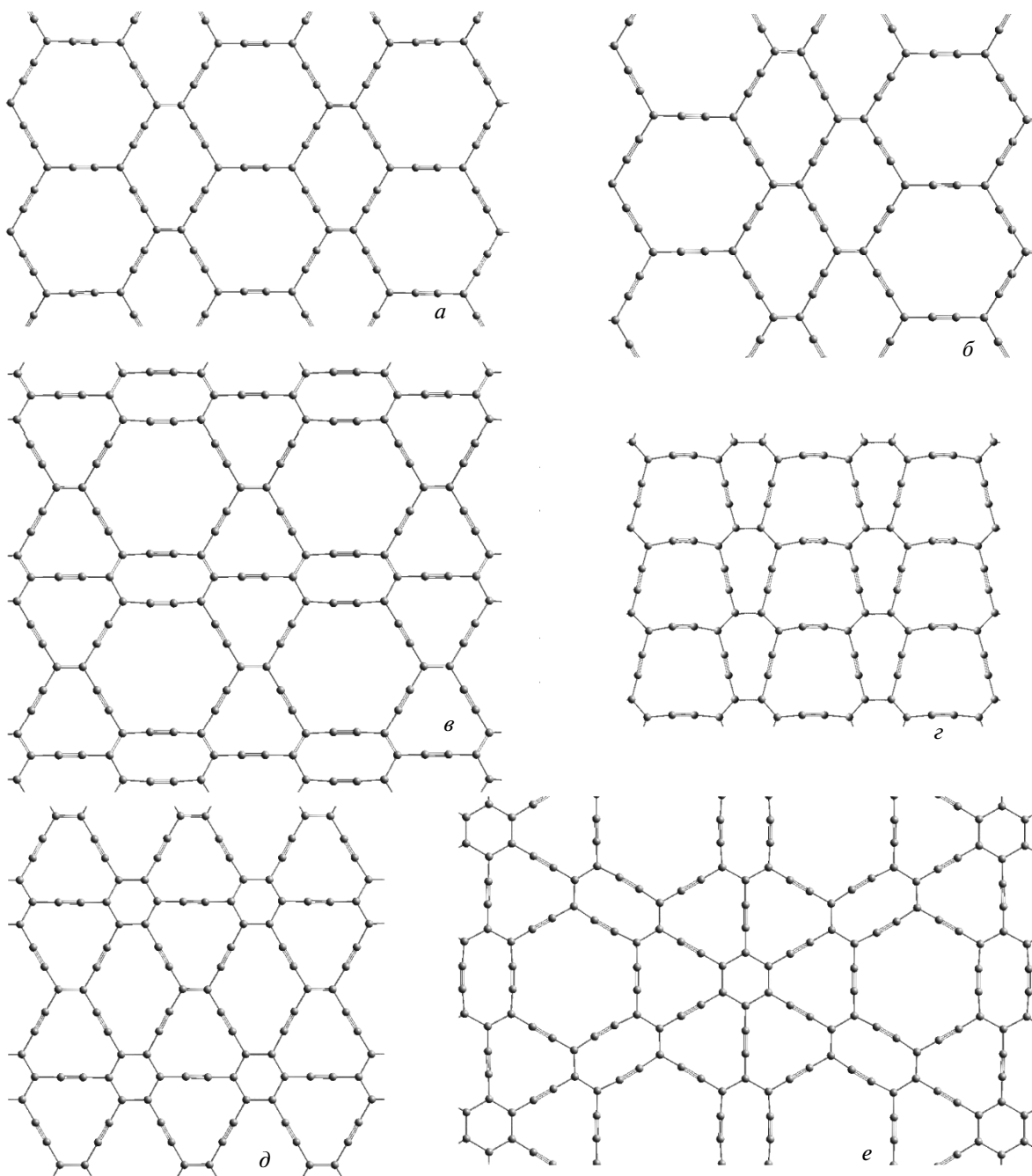


Рис. 4. Геометрически оптимизированная структура слоев из углеродных атомов в двух- и трехкоординированных состояниях, получаемых как комбинации основных структурных разновидностей: *a, б* — α - β 2-графин, *в* — β 1- γ 2-графин, *г* — β 3- γ 3-графин, *д* — β 2- γ 2-графин, *е* — β 1- γ 1- γ 2-графин

ными методами, приведены в табл. 1. Численные значения длин связей, найденные разными методами расчета, различаются, но эти различия незначительные. Абсолютная разница значений длин для одинаковых связей в графиновых слоях не превышает 0.07 Å (менее 4.8%). Как правило, значения

L_i , найденные методом MNDO, больше значений, найденных другими методами. Различия численных значений длин связей, полученных разными методами, связаны, по-видимому, с различными приближениями, принятыми в методах для упрощения расчетов. Тем не менее, относительные пропорции длин

Таблица 1. Длины межатомных связей L_i в слоях, состоящих из углеродных атомов в двух- и трехкоординированных состояниях основных структурных разновидностей

Структура	Связь L_i , Å	Метод расчета			
		MNDO	AM1	PM3	STO6-31G
α -графин	L_1	1.380	1.371	1.373	1.367
	L_3	1.230	1.224	1.223	1.221
$\beta 1$ -графин	L_1	1.422	1.408	1.415	1.443
	L_2	1.386	1.377	1.367	1.338
	L_3	1.202	1.200	1.196	1.191
$\beta 2$ -графин	L_1	1.421	1.407	1.414	1.441
	L_2	1.386	1.377	1.368	1.339
	L_3	1.203	1.201	1.197	1.191
$\beta 3$ -графин	L_1	1.392	1.380	1.384	1.441
	L_2	1.463	1.447	1.436	1.392
	L_3	1.218	1.221	1.212	1.189
$\gamma 1$ -графин	L_1	1.421	1.405	1.414	1.439
	L_2	1.427	1.412	1.407	1.403
	L_3	1.203	1.200	1.196	1.200
$\gamma 2$ -графин	L_1	1.418	1.402	1.411	1.373
	L_2	1.455	1.432	1.432	1.468
	L_3	1.205	1.203	1.198	1.216
$\gamma 3$ -графин	L_1	1.423	1.409	1.415	1.437
	L_2	1.380	1.372	1.364	1.329
	L_3	1.203	1.201	1.197	1.191

связей, найденных разными методами, практически совпадают. Так, например, для α -графина отношения L_1/L_3 , найденные методами MNDO, AM1 и PM3, составляют 1.115, для метода STO6-31G отношение немного больше 1.119. Расчеты, выполненные разными методами, дают близкие результаты, что свидетельствует о корректности проведенных расчетов.

Сравнение численных значений длин межатомных связей в слоях графина показывает, что минимальная длина (L_3) наблюдается у центральных связей в полиновых цепочках, которые образуются тремя парами валентных электронов (табл. 1). Максимальную длину имеют, как правило, одинарные связи (L_1), связывающие трех- и двухкоординированные атомы. Связи L_2 должны быть двойными для β -графинов и полуторными для γ -графинов,

поэтому их длины должны иметь промежуточное значение между длинами одинарных (L_1) и тройных (L_3) связей. Однако это правило выполняется только для $\beta 1$ -, $\beta 2$ - и $\gamma 3$ -графинов. Для $\beta 3$ -, $\gamma 1$ - и $\gamma 2$ -графинов длины связей L_1 и L_2 имеют близкие значения (табл. 1). Это указывает на то, что π -электроны sp^2 -гибридизированных атомов в слоях $\beta 3$ -, $\gamma 1$ - и $\gamma 2$ -графинов, по-видимому, не локализованы в ковалентных связях между трехкоординированными атомами.

По измеренным значениям длин связей в геометрически оптимизированных слоях графинов были рассчитаны длины векторов элементарных трансляций (табл. 2, рис. 2). Элементарные ячейки слоев α -, $\beta 1$ - и $\gamma 1$ -графина гексагональные (углы между векторами элементарных трансляций 120°) и содержат соответственно 8, 18 и 12 атомов. Слои

Таблица 2. Параметры структуры углеродных слоев, состоящих из атомов в двух- и трехкоординированных состояниях основных структурных разновидностей (a, b — длины векторов элементарных трансляций, γ — угол между векторами элементарных трансляций, Rng — кольцевой параметр Уэльса, N — число атомов в элементарной ячейке, P — отношение числа атомов в двухкоординированном состоянии к числу атомов в трехкоординированном состоянии, ρ — слоевая плотность)

Структура	Метод	$a, \text{\AA}$	$b, \text{\AA}$	γ	Rng	N	P	$\rho, \text{мг/м}^2$
α -графин	MNDO	6.911	—	120°	18 ²	8	3	0.39
	AM1	6.869	—		18 ³			
	PM3	6.875	—					
	STO	6.850	—					
β_1 -графин	MNDO	9.478	—	120°	12 ¹ 18 ¹	18	2	0.46
	AM1	9.409	—		12 ² 18 ¹			
	PM3	9.419	—					
	STO	9.492	—					
β_2 -графин	MNDO	4.923	—	91.7°	14 ²	6	2	0.50
	AM1	4.881	—	91.2°	14 ³			
	PM3	4.890	—	91.5°				
	STO	4.920	—	91.1°				
β_3 -графин	MNDO	9.968	4.955	90°	14 ²	12	2	0.49
	AM1	9.905	4.915		14 ³			
	PM3	9.918	4.913					
	STO	9.916	4.950					
γ_1 -графин	MNDO	6.899	—	120°	12 ²	12	1	0.59
	AM1	6.834	—		6 ¹ 12 ²			
	PM3	6.838	—					
	STO	6.884	—					
γ_2 -графин	MNDO	4.872	—	149.1°	10 ²	4	1	0.66
	AM1	4.842	—	149.1°	10 ³			
	PM3	4.841	—	149.4°				
	STO	4.828	—	148.8°				
γ_3 -графин	MNDO	5.004	4.895	90°	10 ²	8	1	0.67
	AM1	4.831	4.936		10 ³			
	PM3	4.875	4.881					
	STO	4.852	4.869					

β_2 - и γ_2 -графина имеют косоугольные элементарные ячейки, так что длины векторов элементарных трансляций a и b равны, а углы между ними составляют соответственно около 91° и 149°. В элементарной ячейке γ_2 -графина содержится четыре атома, а в ячейке β_2 -графина — шесть атомов. Элементарные ячейки β_3 - и γ_3 -графина прямоугольные, для

них длины векторов элементарных трансляций a и b не равны друг другу, а число атомов в ячейках равно соответственно 12 и 8 (табл. 2, рис. 2).

В слоях основных структурных разновидностей графина атомы углерода находятся в двух различных структурных состояниях. Одна из атомных позиций соответствует трехкоординированному состо-

янию (sp^2 -гибризация электронных орбиталей). Другая позиция — это позиция двухкоординированных атомов в полиновых цепочках (sp -гибридизированное состояние). Эти два состояния можно характеризовать кольцевым параметром Уэллса (R_{ng}), который в символической форме описывает структуру атомных колец, связанных минимальным числом ковалентных связей, включающих атом в соответствующем состоянии [95, 96]. Для графиновых слоев каждое из двух различных атомных состояний характеризуется своим параметром R_{ng}^i (где $i = 1, 2$ — номер атомной позиции). Значения параметров R_{ng} для графиновых слоев приведены в табл. 2. Наиболее устойчивыми аллотропными формами углерода являются графит и кубический алмаз, кольцевые параметры Уэллса для которых равны 6^3 и 6^4 . Поэтому, по-видимому, из графинов большей устойчивостью должны обладать γ_1 -, γ_2 - и γ_3 -графиновые слои, имеющие параметры R_{ng} наиболее близкие к гексагональным (табл. 2).

Важной характеристикой, влияющей на структуру и свойства графиновых слоев, должна быть величина P — отношение углеродных атомов в двух- и трехкоординированных состояниях. Так, в слое α -графина на каждый трехкоординированный атом приходится по три двухкоординированных атома, в слоях β -графинов отношение P равно двум, а в слоях γ -графинов $P = 1$ (табл. 2). Таким образом, γ -графины содержат наибольшее относительное число трехкоординированных атомов в состоянии sp^2 -гибридизации. Именно эти графиновые структурные разновидности наиболее близки к графену и должны быть наиболее стабильными.

Графиновые слои могут быть охарактеризованы таким параметром, как слоевая плотность (ρ). Теоретически рассчитанные значения этой величины приведены в табл. 1. Значения слоевой плотности для различных разновидностей графина хорошо коррелируют с величиной P — соотношением атомов в двух- и трехкоординированных состояниях. Минимальная плотность $0.39 \text{ мг}/\text{м}^2$ у слоев α -графина с максимальным значением $P = 3$. Максимальная плотность ($\rho = 0.67 \text{ мг}/\text{м}^2$) должна быть у слоев γ_3 -графина, для которого $P = 1$. Плотности других графиновых слоев принимают промежуточные значения (табл. 2).

Для оценки устойчивости полиморфных модификаций графина был выполнен расчет удельных энергий связей, приходящихся на один атом графинового слоя. По удельным энергиям связей были вычислены энергии сублимации (табл. 3). Сравнение энергий сублимации графиновых слоев с энерги-

Таблица 3. Энергии сублимации (ккал/моль) углеродных слоев, состоящих из атомов в двух- и трехкоординированных состояниях основных структурных разновидностей

Структура	Метод расчета		
	MNDO	AM1	PM3
α -графин	146.81	143.88	144.80
β_1 -графин	148.40	145.48	146.46
β_2 -графин	147.01	144.64	146.02
β_3 -графин	148.37	147.11	147.23
γ_1 -графин	148.58	147.23	148.95
γ_2 -графин	150.89	150.30	150.31
γ_3 -графин	148.23	147.23	147.59
графен L_6	167.00	165.82	166.86
C_{20}	129.64	127.10	133.40

ей сублимации гексагонального графена, вычисленной по той же самой методике, показало, что для всех графиновых слоев значения энергий сублимаций меньше, чем для слоев гексагонального графена (L_6) (табл. 3). Это указывает на меньшую термодинамическую устойчивость слоев графина, по сравнению с гексагональным графеновым слоем. Однако энергии сублимации всех семи основных структурных разновидностей графина оказались выше рассчитанного значения энергии сублимации фуллеренов C_{20} (табл. 3), которые были экспериментально синтезированы и могут устойчиво существовать при нормальных условиях [103]. Из структурных разновидностей графина, как показывают расчеты, максимальная энергия сублимации около 150 ккал/моль наблюдается для γ_2 -графина. Наименее устойчивой разновидностью графина должен быть α -графин, энергия сублимации которого минимальна (табл. 3). О корректности выполненных расчетов свидетельствует хорошее соответствие расчетного значения энергии сублимации гексагонального графенового слоя 167 ккал/моль (табл. 3) и экспериментально измеренного значения энергии сублимации графита 170.8 ккал/моль [104]. Небольшое расхождение расчетного и экспериментального значений связано с тем, что расчет был выполнен для отдельного слоя гексагонального графена, в то время как кристаллы графита представляют из себя стопки графеновых слоев, связанных ван-дер-ваальсовыми связями.

ми, энергия которых не учитывалась при теоретических расчетах.

4. ЗАКЛЮЧЕНИЕ

Таким образом, в результате анализа, выполненного на основе классификационной схемы $sp-sp^2$ -слоевых соединений, описанной в данной работе, была установлена возможность существования семи основных структурных разновидностей графина — α , β_1 , β_2 , β_3 , γ_1 , γ_2 и γ_3 . Два из основных графиновых полиморфа — β_3 и γ_3 — описаны в данной работе. Графиновые слои модельно получаются в результате замены углерод-углеродных связей в гексагональном графеновом слое на фрагменты двухатомных карбиноевых цепочек полииновой разновидности. Кроме семи основных структурных разновидностей графина, состоящих из атомов только в двух различных кристаллографических состояниях, можно получить множество других структурных разновидностей двумя способами. Во-первых, за счет изменения длины карбиноевых цепочек, соединяющих трехкоординированные углеродные атомы (карбиноевые цепочки полииновой модификации в слоях могут содержать четное число атомов — 2, 4, 6 и т. д.). Во-вторых, из основных структурных разновидностей графина можно получить структурные разновидности в результате комбинации структур семи основных графиновых слоев.

Расчеты энергий сублимации для геометрически оптимизированных графиновых слоев, выполненные полуэмпирическими квантово-механическими методами MNDO, AM1, PM3, показали, что численные значения этого параметра, хотя и меньше чем у гексагонального графена, но выше энергии сублимации синтезированного фуллерена C_{20} , устойчиво существующего при нормальных условиях. Это является дополнительным свидетельством в пользу возможности устойчивого существования всех изученных разновидностей графина при нормальных условиях. Максимальная энергия сублимации наблюдается для γ -графинов, а среди них — для γ_2 -графина. Эти структурные разновидности графина должны быть наиболее устойчивыми, и именно их необходимо пытаться синтезировать в первую очередь. Возможным механизмом синтеза графиновых слоев может быть полимеризация молекул, имеющих структуру углеродного каркаса близкую к структуре элементов, из которых формируются слои графина соответствующей структурной разновидности. Возможность экспериментального получения графи-

новых слоев подтверждается тем, что недавно были синтезированы γ_1 -графиновые слои и нанотрубки [90, 91], а также рядом работ, в которых экспериментально синтезированы молекулы, имеющие фрагменты углеродного каркаса, соответствующие структуре углеродного каркаса графиновых слоев во всех основных структурных разновидностей [67–89].

ЛИТЕРАТУРА

1. R. B. Heimann, S. E. Evsyukov, and Y. Koga, Carbon **35**, 1654 (1997).
2. Е. А. Беленков, В. В. Ивановская, А. Л. Ивановский, *Наноалмазы и родственные углеродные наноматериалы. Компьютерное материаловедение*, Изд-во УрО РАН, Екатеринбург (2008).
3. Е. А. Беленков, В. А. Гречняков, ФТТ **55**, 1640 (2013).
4. E. A. Belenkov and V. A. Greshnyakov, New Carbon Mater. **28**, 273 (2013).
5. P. R. Wallace, Phys. Rev. **71**, 622 (1947).
6. K. S. Novoselov, A. K. Geim, S. V. Morozov et al., Science **306**, 666 (2004).
7. J. O. Sofo, A. S. Chaudhari, and G. D. Barber, Phys. Rev. B **75**, 153401 (2007).
8. D. C. Elias, R. R. Nair, T. M. G. Mohiuddin et al., Science **323**, 610 (2009).
9. R. H. Baughman, H. Eckhardt, and M. Kertesz, J. Chem. Phys. **87**, 6687 (1987).
10. N. Narita, S. Nagai, S. Suzuki, and K. Nakao, Phys. Rev. B **58**, 11009 (1998).
11. J. Juselius and D. Sundholm, Phys. Chem. Chem. Phys. **3**, 2433 (2001).
12. Y. Zhou and S. Feng, Sol. St. Comm. **122**, 307 (2002).
13. S. Anand, O. Varnavski, J. A. Marsden et al., J. Phys. Chem. A **110**, 1305 (2006).
14. A. Bhaskar, R. Guda, M. M. Haley, and T. Goodson, J. Amer. Chem. Soc. **128**, 13972 (2006).
15. K. Tahara, T. Yoshimura, M. Sonoda et al., J. Org. Chem. **72**, 1437 (2007).
16. A. N. Enyashin and A. L. Ivanovskii, Phys. St. Sol. B **248**, 1879 (2011).
17. S. W. Cranford and M. J. Buehler, Carbon **49**, 4111 (2011).

18. J. Kang, J. Li, F. Wu et al., *J. Phys. Chem. C* **115**, 20466 (2011).
19. L. D. Pan, L. Z. Zhang, B. Q. Song et al., *Appl. Phys. Lett.* **98**, 173102 (2011).
20. M. Long, L. Tang, D. Wang et al., *ACS Nano* **5**, 2593 (2011).
21. J. Zhou, K. Lv, Q. Wang et al., *J. Chem. Phys.* **134**, 174701 (2011).
22. B. G. Kim and H. J. Choi, *Phys. Rev. B* **86**, 115435 (2012).
23. D. Malko, C. Neiss, F. Vines, and A. Gorling, *Phys. Rev. Lett.* **108**, 086804 (2012).
24. D. Malko, C. Neiss, F. Vines, and A. Gorling, *Phys. Rev. B* **86**, 045443 (2012).
25. Q. Peng, W. Ji, and S. De, *Phys. Chem. Chem. Phys.* **14**, 13385 (2012).
26. T. Ouyang, Y. Chen, L. M. Liu et al., *Phys. Rev. B* **85**, 235436 (2012).
27. H. Zhang, X. He, M. Zhao et al., *J. Phys. Chem. C* **116**, 16634 (2012).
28. Q. Yue, S. Chang, J. Tan et al., *Phys. Rev. B* **86**, 235448 (2012).
29. P. Wu, P. Du, H. Zhang, and C. Cai, *J. Phys. Chem. C* **116**, 20472 (2012).
30. J. Cao, C. P. Tang, and S. J. Xiong, *Physica B* **407**, 4387 (2012).
31. G. van Miert, C. M. Smith, and V. Juricic, *Phys. Rev. B* **90**, 081406(R) (2014).
32. V. N. Popov and P. Lambin, *Phys. Rev. B* **88**, 075427 (2013).
33. Q. Yue, S. Chang, J. Tan et al., *Phys. Rev. B* **86**, 235448 (2012).
34. T. Ouyang, Y. Chen, L.-M. Liu et al., *Phys. Rev. B* **85**, 235436 (2012).
35. X. Niu, X. Mao, D. Yang et al., *Nanoscale Research Lett.* **8**, 469 (2013).
36. M. Hu, J. He, Q. Wang et al., *J. Superhard Mater.* **36**, 257 (2014).
37. X. J. He, J. Tan, H. X. Bu, H. Y. Zhang et al., *Chinese Sci. Bull.* **57**(23), 3080 (2012).
38. В. В. Мавринский, Т. Е. Беленкова, В. М. Чернов, Е. А. Беленков, *Вестник Челябинского государственного университета* **23** (316), 31 (2013).
39. N. Narita, S. Nagai, S. Suzuki, and K. Nakao, *Phys. Rev. B* **62**, 11146 (2000).
40. Е. А. Беленков, В. В. Мавринский, *Известия ЧНЦ УрО РАН* **32**, 13 (2006).
41. R. H. Baughman, D. S. Galvao, C. Cui, and S. O. Dantas, *Chem. Phys. Lett.* **269**, 356 (1997).
42. N. Narita, S. Nagai, and S. Suzuki, *Phys. Rev. B* **64**, 245408 (2001).
43. B. Sateesh, Y. Soujanya, and G. N. Sastry, *J. Chem. Sci.* **119**, 509 (2007).
44. C. Li, J. Li, F. Wu et al., *J. Phys. Chem. C* **115**, 23221 (2011).
45. H. Zhang, M. Zhao, X. He et al., *J. Phys. Chem. C* **115**, 8845 (2011).
46. Y. Guo, K. Jiang, B. Xu et al., *J. Phys. Chem. C* **116**, 13837 (2012).
47. H. Bu, M. Zhao, H. Zhang et al., *J. Phys. Chem. A* **116**, 3934 (2012).
48. K. Srinivasu and S. K. Ghosh, *J. Phys. Chem. C* **116**, 5951 (2012).
49. H. J. Hwang, Y. Kwon, and H. Lee, *J. Phys. Chem. C* **116**, 20220 (2012).
50. J. He, S. Y. Ma, P. Zhou et al., *J. Phys. Chem. C* **116**, 26313 (2012).
51. C. Sun and D. J. Searles, *J. Phys. Chem. C* **116**, 26222 (2012).
52. J. Ahn, H. Lee, and Y. Kwon, *Phys. Rev. B* **90**, 075433 (2014).
53. Y. Kwon, H. Shin, and H. Lee, *Phys. Rev. B* **88**, 201403(R) (2013).
54. R. H. Baughman, D. S. Galvao, Ch. Cui et al., *Chem. Phys. Lett.* **204**, 8 (1993).
55. Е. А. Беленков, *Известия ЧНЦ УрО РАН* **14**, 17 (2002).
56. Е. А. Беленков, *Известия ЧНЦ УрО РАН* **14**, 12 (2002).
57. V. R. Coluci, S. F. Braga, S. B. Legoa et al., *Phys. Rev. B* **68**, 35430 (2003).
58. A. N. Enyashin, A. A. Sofronov, Y. N. Makurin, and A. L. Ivanovskii, *J. Mol. Struct. (Theochem)* **684**, 29 (2004).
59. V. R. Coluci, D. S. Galvao, and R. H. Baughman, *J. Chem. Phys.* **121**, 3228 (2004).

- 60.** V. R. Coluci, S. F. Braga, S. B. Legoa et al., *Nanotechnology* **15**, S142 (2004).
- 61.** C. Lepetit, C. Zou, and R. Chauvin, *J. Org. Chem.* **71**, 6317 (2006).
- 62.** Е. А. Беленков, И. В. Шахова, *ФТТ* **53**, 2565 (2011).
- 63.** А. И. Подливаев, Л. А. Опенов, *ФТТ* **54**, 1614 (2012).
- 64.** Y. S. Wang, P. F. Yuan, M. Li et al., *J. Sol. St. Chem.* **197**, 323 (2013).
- 65.** F. Diederich and Y. Rubin, *Angew. Chem. Int. Ed. Engl.* **31**, 1101 (1992).
- 66.** F. Diederich, *Nature* **369**, 199 (1994).
- 67.** M. M. Haley, M. L. Bell, J. J. English et al., *J. Amer. Chem. Soc.* **119**, 2956 (1997).
- 68.** Y. Rubin, T. C. Parker, S. I. Khan et al., *J. Amer. Chem. Soc.* **118**, 5308 (1996).
- 69.** M. M. Haley, S. C. Brand, and J. J. Pak, *Chem. Int. Ed. Engl.* **36**, 835 (1997).
- 70.** U. H. F. Bunz, Y. Rubin, and Y. Tobe, *Chem. Soc. Rev.* **28**, 107 (1999).
- 71.** J. J. Pak, T. J. R. Weakley, and M. M. Haley, *J. Amer. Chem. Soc.* **121**, 8182 (1999).
- 72.** A. Meijere, S. Kozhushkov, T. Haumann et al., *Chem. Europ. J.* **1**, 124 (1995).
- 73.** P. Siemsen, R. C. Livingston, F. Angew. Chem. Int. Ed. Engl. **39**, 2632 (2000).
- 74.** M. Ohkita, T. Suzuki, K. Nakatani, and T. Tsuji, *Chem. Comm.* **37**, 1454 (2001).
- 75.** M. Ohkita, M. Kawano, T. Suzuki, and T. Tsuji, *Chem. Comm.* **37**, 3054 (2002).
- 76.** L. Ravagnan, F. Siviero, C. Lenardi et al., *Phys. Rev. Lett.* **89**, 285506 (2002).
- 77.** J. A. Marsden, J. J. Miller, and M. M. Haley, *Angew. Chem. Int. Ed. Eng.* **43**, 1694 (2004).
- 78.** J. A. Marsden and M. M. Haley, *J. Org. Chem.* **70**, 10213 (2005).
- 79.** C. A. Johnson, Y. Lu, and M. M. Haley, *Org. Lett.* **9**, 3725 (2007).
- 80.** M. M. Haley, *Pure Appl. Chem.* **80**, 519 (2008).
- 81.** Q. Zhou, P. J. Carroll, and T. M. Swager, *J. Org. Chem.* **59**, 1294 (1994).
- 82.** R. R. Chance, G. N. Patel, E. A. Turi, and Y. P. Khan-na, *J. Amer. Chem. Soc.* **100**, 1307 (1978).
- 83.** J. M. Kehoe, J. H. Kiley, J. J. English et al., *Org. Lett.* **2**, 969 (2000).
- 84.** P. N. W. Baxter and R. Dali-Youcef, *J. Org. Chem.* **70**, 4935 (2005).
- 85.** T. Yoshimura, A. Inaba, M. Sonoda et al., *Org. Lett.* **8**, 2933 (2006).
- 86.** M. G. Lauer, J. W. Leslie, A. Mynar et al., *J. Org. Chem.* **73**, 474 (2008).
- 87.** D. Mossinger, D. Chaudhuri, T. Kudernac et al., *J. Amer. Chem. Soc.* **132**, 1410 (2010).
- 88.** F. Diederich and M. Kivala, *Adv. Mater.* **22**, 803 (2010).
- 89.** J. Sakamoto, J. Heijst, O. Lukin, and A. D. Schluter, *Angew. Chem. Int. Ed. Engl.* **48**, 1030 (2009).
- 90.** G. Li, Y. Li, H. Liu et al., *Chem. Comm.* **46**, 3256 (2010).
- 91.** G. Li, Y. Li, X. Qian et al., *J. Phys. Chem. C* **115**, 2611 (2011).
- 92.** G. Luo, X. Qian, H. Liu et al., *Phys. Rev. B* **84**, 075439 (2011).
- 93.** H. W. Kroto, *Nature* **329**, 529 (1987).
- 94.** M. J. S. Dewar and W. Thiel, *J. Amer. Chem. Soc.* **99**, 4899 (1977).
- 95.** M. J. S. Dewar, E. G. Zoebisch, E. F. Healy et al., *J. Amer. Chem. Soc.* **107**, 3902 (1985).
- 96.** J. J. P. Stewart, *J. Comput. Chem.* **10**, 209 (1989).
- 97.** J. J. P. Stewart, *J. Comput. Chem.* **10**, 221 (1989).
- 98.** W. J. Hehre, R. F. Stewart, and J. A. Pople, *J. Chem. Phys.* **51**, 2657 (1969).
- 99.** E. Davidson and D. Feller, *Chem. Rev.* **86**, 681 (1986).
- 100.** Е. А. Беленков, В. А. Грешняков, В. В. Мавринский, *Вестник Челябинского государственного университета. Физика* **25** (263), 22 (2009).
- 101.** В. А. Грешняков, Е. А. Беленков, *ЖЭТФ* **140**, 99 (2011).
- 102.** В. А. Грешняков, Е. А. Беленков, В. М. Березин, *Кристаллическая структура и свойства углеродных алмазоподобных фаз*, Изд-во ЮУрГУ, Челябинск (2012).
- 103.** H. Prinzbach, A. Weiler, P. Landenberger et al., *Nature* **407**, 60 (2000).
- 104.** С. В. Шулепов, *Физика углеродных материалов*, Металлургия, Челябинск (1990).